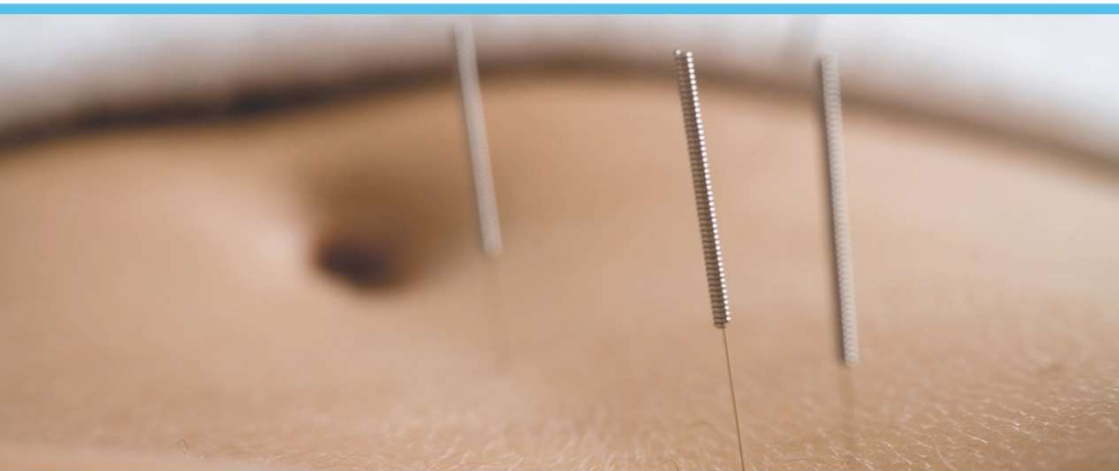




TCM
FACHVERBAND SCHWEIZ



PUNKTELOKALISATION

REFERENZMASSE IN DER AKUPUNKTUR

Anatomische Punktelokalisationen und Referenzmasse in der Akupunktur

7. Überarbeitete Auflage, November 2017

Autoren:

Stefan Maegli und Hamid Montakab

Unter Mitarbeit von:

Christof Graf, George Knecht,
Daniel Stehli, Petra Zollinger

Revisionen:

Erika Bucher, Claudine Fontolliet, Francesca Gentile, Christof Graf, Christina Honnegger, Pascal Huwyler, Stefan Maegli, Godi Renz, Iris Schmidlin, Andrea Stutterich, Marina Tobler, Jürg Wilhelm, Daodang Zhai, Zheng Zhang, Petra Zollinger

Herausgeber:

TCM Fachverband Schweiz

Copyright © 2002, Stefan Maegli und Hamid Montakab

Die Autoren erheben keinen Anspruch auf ausschliessliche Gültigkeit der beschriebenen Lokalisationen. Im Bewusstsein, dass sie in der Praxis nur als Ausgangspunkte für das Auffinden der energetisch aktiven Punkte dienen, sollen die präzisen anatomischen Beschreibungen als einheitliche Grundlage für die Punktelokalisationsprüfungen des TCM Fachverbandes Schweiz dienen.

Das Werk einschliesslich aller seiner Teile ist urheberrechtlich geschützt. Jede Verwertung ausserhalb der engen Grenzen des Urheberrechtsgesetzes ist ohne schriftliche Zustimmung der Autoren unzulässig und strafbar. Dies gilt insbesondere für Vervielfältigungen, Übersetzungen, Mikroverfilmungen und die Einspeicherung und Verarbeitung in elektronischen Systemen.

Die proportionalen Körpermasse

Die folgenden Masse sind in der biometrischen Einheit *CUN* angegeben. Ein *CUN* ist eine proportionale Körpermasseinheit, d.h. seine absolute Länge variiert entsprechend dem Individuum und der gemessenen Körperstelle. Die folgenden Referenzmasse dienen zum Auffinden von Akupunkturpunkten im entsprechenden Gebiet in anatomischer Neutralstellung.

Lokalisation	Distanz	<i>CUN</i>
Kopf	Zwischen der Glabella (Yintang) und der Mulde direkt unterhalb der Protuberantia occipitalis externa (Du 16).	14
	Zwischen dem vorderen und hinteren Haaransatz.	12
	Zwischen der Protuberantia occipitalis externa (Du 16) und dem hinteren Haaransatz.	1
	Zwischen der Unterkante des Processus spinosus C7 (Du 14) und dem hinteren Haaransatz.	3
	Zwischen der Glabella und dem vorderen Haaransatz.	3
	Zwischen den beiden Processus mastoideus.	9
	Zwischen den beiden Punkten Ma 8 (Geheimrats-ecken).	9
	Zwischen der Glabella (Yintang) und der Unterkante des Processus spinosus C7 (Du 14)	18
Mammillarlinie	Der Thoraxform folgende, anatomisch geformte, glockenförmig verlaufende Verbindungslinie von der Mitte der Clavicula, zu den Brustwarzen, dann in die „Vier-Cun-Linie“ (=Milz Meridian) auf dem Bauch übergehend.	*
Brust	Zwischen den beiden Brustwarzen.	8
	Zwischen dem lateralen Ende der Clavicula und der vorderen Körpermittellinie.	8
	Zwischen dem tiefsten Punkt der Axilla und dem freien Ende der 11. Rippe.	12
Bauch	Zwischen dem Übergang Corpus sterni/Processus xiphoideus und der Nabelmitte (Ren 8).	8
	Zwischen der Nabelmitte (Ren 8) und der Oberkante der Symphysis pubis.	5

	Zwischen der Nabelmitte und der seitlichen Körpermittellinie.	8
Rücken	Die engste Stelle zwischen den beiden medialen Scapularändern.	6
	Zwischen dem medialen Scapularand und der hinteren Körpermittellinie.	3
Oberarm	Zwischen dem Ende der vorderen Axillarfalte und der Beugefalte des Ellbogens. (Di, Lu, He Pe)	9
Unterarm	Zwischen der Beugefalte des Ellbogens und der Handgelenkspalte, resp. der entsprechenden Höhe auf der YANG Seite. (Lu 5 – Lu 9, Pe 3 – Pe 7, He 3 – He 7, Di 5 – Di 11, SJ 4 – Spitze des Epicondylus humeri lateralis, Dü 5 – Dü 8)	12
Oberschenkel YIN Seite	Zwischen der Oberkante der Symphysis pubis und der Prominenz des medialen Epicondylus femoris. (Le, Mi, Ni)	18
YANG Seite	Zwischen der Prominenz des Trochanter major und der lateralen Kniegelenkspalte. (Gb, Ma)	19
	Zwischen der Mitte der Glutealfalte (BI 36) und der Mitte der Kniekehlenfalte (BI 40).	14
Unterschenkel YIN Seite	Zwischen der medialen Kniegelenksspalte und der Prominenz des medialen Malleolus. (Le, Mi, Ni)	15
YANG Seite	Zwischen der lateralen Kniegelenksspalte und der Prominenz des lateralen Malleolus. (Ma 35 – Ma 41, Gb)	16
	Zwischen der Mitte der Kniekehlenfalte (BI 40) und der Achillessehne auf der Höhe der Prominenz des lateralen Malleolus. (BI)	16
	Zwischen der Prominenz des lateralen Malleolus und dem Boden (stehend).	3

Lu 1 Zhongfu	Auf der Höhe des 1. Intercostalraumes, 6 cun lateral der Körpermitte.
Lu 2 Yunmen	In der Fossa infraclavicularis (Trigonum deltoideopectorale).
Lu 3 Tianfu	3 cun unterhalb des Endes der vorderen Achselfalte, lateral des M. Biceps brachii, zwischen Muskel und Humerus.
Lu 4 Xiabai	4 cun unterhalb des Endes der vorderen Achselfalte, lateral des M. Biceps brachii, zwischen Muskel und Humerus.
Lu 5 Chize	Bei leicht gebeugtem Ellbogen, auf der Beugefalte, in der Vertiefung lateral der Sehne des M. biceps brachii.
Lu 6 Kongzui	In der Vertiefung 7 cun proximal der Handgelenkspalte, auf der Verbindungslinie zwischen Lu 5 und Lu 9.
Lu 7 Lieque	1,5 cun proximal der Handgelenkspalte, zwischen den Sehnen der Mm. brachioradialis und abductor pollicis longus.
Lu 8 Jingqu	1 cun proximal der Handgelenkspalte, in der Vertiefung lateral der tastbaren A. radialis.
Lu 9 Taiyuan	Am radialen Ende der Handgelenkspalte, lateral der A. radialis.
Lu 10 Yuji	Auf dem Thenar, in der Mitte des Os metacarpale I, an der Grenze zwischen weisser und roter Haut.
Lu 11 Shaoshang	0.1 cun proximal des radialen Nagelfalzwinkels des Daumens. Auf dem Kreuzungspunkt der Linien, die durch die Basis und die Seite des Nagelbettes gezogen werden können.
Di 1 Shangyang	0.1 cun proximal des radialen Nagelfalzwinkels des Zeigefingers. Auf dem Kreuzungspunkt der Linien, die durch die Basis und die Seite des Nagelbettes gezogen werden können.
Di 2 Erjian	Bei leicht geschlossener Faust, in der Vertiefung unmittelbar distal und radial der Basis phalangis proximalis II., auf der Grenze von roter und weisser Haut.
Di 3 Sanjian	Bei leicht geschlossener Faust, in der Vertiefung proximal und radial des Köpfchens des zweiten Metacarpale.
Di 4 Hegu	Auf dem Handrücken, zwischen den Ossa metacarpalia I und II, in der Mitte des Os metacarpale II, auf dem höchsten Punkt in der Mitte des Muskelwulstes bei vollständig adduziertem Daumen.
Di 5 Yangxi	Bei extendiertem Daumen, in der Vertiefung zwischen den Sehnen der Mm. extensor pollicis longus und brevis (Tabatière).

- Di 6**
Pianli
Bei leicht gebeugtem Ellbogen, auf der Verbindungslinie zwischen Di 5 und Di 11, 3 cun proximal von Di 5.
- Di 7**
Wenliu
Bei leicht gebeugtem Ellbogen, auf der Verbindungslinie zwischen Di 5 und Di 11, 5 cun proximal von Di 5.
- Di 8**
Xialian
Bei leicht gebeugtem Ellbogen, auf der Verbindungslinie zwischen Di 5 und Di 11, 8 cun proximal von Di 5.
- Di 9**
Shanglian
Bei leicht gebeugtem Ellbogen, auf der Verbindungslinies zwischen Di 5 und Di 11, 9 cun proximal von Di 5.
- Di 10**
Shousanli
Bei leicht gebeugtem Ellbogen, auf der Verbindungslinie zwischen Di 5 und Di 11, 10 cun proximal von Di 5.
- Di 11**
Quchi
Bei 90° gebeugtem Ellbogen, auf halbem Weg zwischen Lu 5 und dem Epicondylus lateralis humeri.
- Di 12**
Zhouliao
Bei gebeugtem Ellbogen, in der Vertiefung je 1 cun proximal und posterior von Di 11, am vorderen Humerusrand.
- Di 13**
Shouwuli
Auf der Verbindungslinie zwischen Di 11 und Di 15, 3 cun oberhalb von Di 11.
- Di 14**
Binao
Auf der Verbindungslinie zwischen Di 11 und Di 15, 7 cun proximal von Di 11, auf der radialen Seite des Humerus, in der Vertiefung zwischen den Ansätzen der Pars acromialis und Pars clavicularis des M. deltoideus.
- Di 15**
Jianyu
In der Vertiefung am vorderen unteren Rand des Akromions, zwischen den Ursprüngen der Pars acromialis und Pars clavicularis des M. deltoideus. Bei abduziertem Arm liegt der Punkt in der ventralen der beiden sichtbaren Vertiefungen.
- Di 16**
Jugu
In der Vertiefung des Winkels zwischen dem akromialen Ende der Clavicula und der Spina scapulae.
- Di 17**
Tianding
1 cun schräg unterhalb von Di 18, am Hinterrand des M. sternocleidomastoideus.
- Di 18**
Futu
Auf der Höhe der halben Distanz zwischen der Spitze des Processus mastoideus und dem sternalen Ansatz des M. sternocleidomastoideus, zwischen dem sternalen und dem claviculären Anteil des M. sternocleidomastoideus.
- Di 19**
Kouheliao
Direkt unterhalb des lateralen Nasenlochrandes, auf der Höhe von Du 26 (Übergang des oberen zum mittleren Drittel des Philtrums).
- Di 20**
Yingxiang
In der Nasolabialfalte, auf der Höhe der Mitte des seitlichen Nasenflügelrandes.

- Ma 1**
Chengqi
Senkrecht unterhalb der Pupille, zwischen dem Augapfel und dem Mittelpunkt des Infraorbitalrandes.
- Ma 2**
Sibai
Senkrecht unterhalb der Pupille, in der Vertiefung des Foramen infraorbitalis.
- Ma 3**
Juliao
Senkrecht unterhalb der Pupille, auf der Höhe des unteren Nasenflügelrandes.
- Ma 4**
Dicang
Senkrecht unterhalb der Pupille, lateral des Mundwinkels.
- Ma 5**
Daying
In der Vertiefung am Vorderrand des M. masseter, sichtbar bei aufgeblähten Wangen, über der palpablen A. facialis.
- Ma 6**
Jiache
1 Fingerbreit vor und über dem Kieferwinkel (Angulus mandibulae), auf der höchsten Erhebung des angespannten M. masseter, resp. in der Vertiefung, welche bei geöffnetem Mund entsteht.
- Ma 7**
Xiaguan
In der Vertiefung unterhalb des Jochbeinbogens (Arcus zygomaticus) vor dem Processus articularis der Mandibula, am Hinterrand des M. masseter.
- Ma 8**
Touwei
Im Stirn-Schläfenwinkel ("Geheimratsecken"), in der Vertiefung auf der Sutura fronto-parietalis, zweimal die seitliche Distanz zwischen der vorderen Mittellinie und der Senkrechten über der Pupille.
- Ma 9**
Renying
Auf der Höhe der halben Distanz zwischen der Spitze des Processus mastoideus und dem sternalen Ansatz des M. sternocleidomastoideus, zwischen der A. carotis communis und dem Schildknorpel (Cartilago thyreoidea).
- Ma 10**
Shuitu
Am Vorderrand des M. sternocleidomastoideus., in der Mitte zwischen Ma 9 und Ma 11.
- Ma 11**
Qishe
Am oberen Rand der Clavicula, zwischen dem sternalen und dem claviculären Ansatz des M. sternocleidomastoideus (= Fossa supraclavicularis minor).
- Ma 12**
Quepen
In der Fossa supraclavicularis major, senkrecht über der Mitte zwischen dem lateralen Ende der Clavicula und der vorderen Körpermittellinie (Ren Mai).
- Ma 13**
Qihu
Am Unterrand der Mitte der Clavicula, auf der Mammillarlinie, 4 cun lateral des Ren Mai.
- Ma 14**
Kufang
Im 1. Intercostalraum, auf der Mamillarlinie, 4 cun seitlich des Ren Mai.
- Ma 15**
Wuyi
Im 2. Intercostalraum, auf der Mamillarlinie, 4 cun seitlich des Ren Mai.

Ma 16 Yingchuang	Im 3. Intercostalraum, auf der Mamillarlinie, 4 cun seitlich des Ren Mai.
Ma 17 Ruzhong	Im 4. Intercostalraum, im Zentrum der Brustwarze.
Ma 18 Rugen	Im 5. Intercostalraum, direkt unterhalb der Brustwarze.
Ma 19 Burong	6 cun oberhalb des Nabels, 2 cun seitlich von Ren 14.
Ma 20 Chengman	5 cun oberhalb des Nabels, 2 cun seitlich von Ren 13.
Ma 21 Liangmen	4 cun oberhalb des Nabels, 2 cun seitlich von Ren 12.
Ma 22 Guanmen	3 cun oberhalb des Nabels, 2 cun seitlich von Ren 11.
Ma 23 Taiyi	2 cun oberhalb des Nabels, 2 cun seitlich von Ren 10.
Ma 24 Huaroumen	1 cun oberhalb des Nabels, 2 cun seitlich von Ren 9.
Ma25 Tianshu	2 cun seitlich des Zentrums des Nabels.
Ma 26 Wailing	1 cun unterhalb des Nabels, 2 cun lateral von Ren 7.
Ma 27 Daju	2 cun unterhalb des Nabels, 2 cun lateral von Ren 5.
Ma 28 Shuidao	3 cun unterhalb des Nabels, 2 cun lateral von Ren 4.
Ma 29 Guilai	4 cun unterhalb des Nabels, 2 cun lateral von Ren 3.
Ma 30 Qichong	5 cun unterhalb des Nabels, 2 cun lateral von Ren 2, medial der A. femoralis, oberhalb des Lig. inguinale .
Ma 31 Biguan	Kreuzpunkt der Spina iliaca anterior superior und der Untergrenze der Symphysis pubica, in der Vertiefung lateral des M. sartorius.
Ma 32 Futu	Auf der Verbindungslinie zur Spina iliaca anterior superior, 6 cun proximal des oberen, lateralen Patellarandes, lateral des M. rectus femoris.
Ma 33 Yinshi	Auf der Verbindungslinie zur Spina iliaca anterior superior, 3 cun proximal des oberen, lateralen Patellarandes, zwischen den Mm. vastus lateralis und rectus femoris.

- Ma 34**
Liangqiu
Auf der Verbindungslinie zur Spina iliaca anterior superior, 2 cun proximal des oberen, lateralen Patellarandes, zwischen den Mm. vastus lateralis und rectus femoris.
- Ma 35**
Dubì
Bei gebeugtem Knie, unterhalb der Patella, im Zentrum der Vertiefung lateral des Lig. patellae.
- Ma 36**
Zusanli
3 cun distal von Ma 35, 1 Fingerbreit lateral der Tibiakante, im M. tibialis anterior.
- Ma 37**
Shangjuxu
6 cun distal von Ma 35, 1 Fingerbreit lateral der Tibiakante, im M. tibialis anterior.
- Ma 38**
Tiaokou
8 cun distal von Ma 35, 1 Fingerbreit lateral der Tibiakante, im M. tibialis anterior.
- Ma 39**
Xiajuxu
9 cun distal von Ma 35, 1 Fingerbreit lateral der Tibiakante, im M. tibialis anterior.
- Ma 40**
Fenglong
8 cun distal von Ma 35, 2 Fingerbreit lateral der Tibiakante, im M. tibialis anterior.
- Ma 41**
Jiexi
Im Gelenkspalt, auf der Höhe der Prominenz des lateralen Malleolus, zwischen den Sehnen der Mm. extensor digitorum longus und hallucis longus.
- Ma 42**
Chongyang
Distal von Ma 41, in der Mulde zwischen den Ossa metatarsalia II und III und den Ossa cuneiformia intermedium und laterale, lateral der Taststelle der A. dorsalis pedis.
- Ma 43**
Xiangü
In der Mulde proximal der Köpfcchen der Metatarsalia II und III.
- Ma 44**
Neiting
In der Interdigitalhaut in der Vertiefung unmittelbar distal und lateral der Basis phalangis proximalis II.
- Ma 45**
Lidui
0.1 cun proximal des lateralen Nagelfalzwinkels der zweiten Zehe. Auf dem Kreuzungspunkt der Linien, die durch die Basis und die Seite des Nagelbettes gezogen werden können.
- Mi 1**
Yinbai
0.1 cun proximal des medialen Nagelfalzwinkels der Grosszehe. Auf dem Kreuzungspunkt der Linien, die durch die Basis und die Seite des Nagelbettes gezogen werden können.
- Mi 2**
Dadu
Auf der medialen Seite der grossen Zehe, distal der Basis phalangis proximalis II, auf der Grenze zwischen roter und weisser Haut.
- Mi 3**
Taibai
In der Vertiefung proximal und inferior des Köpfcchens des Os metatarsale I, auf der Grenze zwischen roter und weisser Haut.
- Mi 4**
Gongsun
In der Vertiefung distal und inferior der Basis des ersten Metatarsale, auf der Grenze zwischen roter und weisser Haut.

Mi 5 Shangqiu	In der Vertiefung anterior und inferior des medialen Malleolus, in der Mitte zwischen der Tuberositas des Os naviculare und der Prominenz des medialen Malleolus.
Mi 6 Sanyinjiao	3 cun oberhalb der Prominenz des medialen Malleolus, in der Vertiefung posterior der medialen Tibiakante.
Mi 7 Lougu	6 cun oberhalb der Prominenz des medialen Malleolus, in der Vertiefung posterior der medialen Tibiakante.
Mi 8 Diji	10 cun oberhalb der Prominenz des medialen Malleolus, in der Vertiefung posterior der medialen Tibiakante.
Mi 9 Yinlingquan	An der Unterkante des Condylus medialis tibiae, in der Vertiefung posterior des Überganges der medialen Tibiakante zur Unterkante des Condylus tibiae.
Mi 10 Xuehai	2 cun proximal des medialen oberen Patellarandes, auf dem M. vastus medialis.
Mi 11 Jimen	8 cun proximal des medialen oberen Patellarandes, auf der Verbindungslinie zu Mi 12.
Mi 12 Chongmen	Auf der Höhe der Oberkante der Symphysis pubica, lateral der A. femoralis, 3,5 cun lateral von Ren 2, unterhalb des Lig. inguinale.
Mi 13 Fushe	0.7 cun laterosuperior von Mi 12, 4 cun lateral des Ren Mai, am lateralen Rand des M. rectus abdominis.
Mi 14 Fujie	1.3 cun unterhalb von Mi 15, 4 cun lateral des Ren Mai, am lateralen Rand des M. rectus abdominis.
Mi 15 Daheng	4 cun lateral der Nabelmitte, am lateralen Rand des M. rectus abdominis.
Mi 16 Fuai	3 cun über Mi 15, 4 cun lateral des Ren Mai.
Mi 17 Shidou	Im 5. Intercostalraum, 6 cun lateral des Ren Mai.
Mi 18 Tianxi	Im 4. Intercostalraum, 6 cun lateral des Ren Mai.
Mi 19 Xiongyang	Im 3. Intercostalraum, 6 cun lateral des Ren Mai.
Mi 20 Zhourong	Im 2. Intercostalraum, 6 cun lateral des Ren Mai.
Mi 21 Dabao	Auf der mittleren Axillarlinie, 6 cun unterhalb der Axilla, im entsprechenden Intercostalraum.

He 1 Jiquan	Bei 90° abduziertem Arm in der Mitte der Axilla, anterior der A. axillaris.
He 2 Qingling	Bei gebeugtem Ellbogen, 3 cun oberhalb des medialen Endes der Ellbogenbeugefalte, in der Vertiefung medial des M. biceps brachii.
He 3 Shaohai	Bei vollständig gebeugtem Ellbogen, in der Vertiefung zwischen dem medialen Ende der Ellbogenfalte und dem medialen Epicondylus humeri.
He 4 Lingdao	Bei supiniertem Unterarm, auf der radialen Seite der Sehne des M. flexor carpi ulnaris, 1,5 cun proximal von He 7.
He 5 Tongli	Bei supiniertem Unterarm, auf der radialen Seite der Sehne des M. flexor carpi ulnaris, 1 cun proximal von He 7.
He 6 Yinxi	Bei supiniertem Unterarm, auf der radialen Seite der Sehne des M. flexor carpi ulnaris, 0,5 cun proximal von He 7.
He 7 Shenmen	Bei supiniertem Unterarm, auf der radialen Seite der Sehne des M. flexor carpi ulnaris, unmittelbar proximal und radial des Os pisiforme.
He 8 Shaofu	Auf der Handinnenfläche, proximal der Köpfchen der Ossa metacarpalia IV und V.
He 9 Shaochong	0.1 cun proximal des radialen Nagelfalzwinkels des Kleinfingers. Auf dem Kreuzungspunkt der Linien, die durch die Basis und die Seite des Nagelbettes gezogen werden können.
Dü 1 Shaoze	0.1 cun proximal des ulnaren Nagelfalzwinkels des Kleinfingers. Auf dem Kreuzungspunkt der Linien, die durch die Basis und die Seite des Nagelbettes gezogen werden können.
Dü 2 Qianggu	Bei lockerer Faust, in der Vertiefung unmittelbar distal und ulnar der Basis phalangis proximalis V, auf der Grenze zwischen roter und weisser Haut.
Dü 3 Houxi	Bei lockerer Faust ist der Punkt auf der ulnaren Seite, unmittelbar proximal des Köpfchens des Metacarpale V, an der Grenze zwischen roter und weisser Haut.
Dü 4 Wangu	Auf der ulnaren Handkante, in der Vertiefung zwischen der Basis des Os metacarpale V und dem Os triquetrum.
Dü 5 Yanggu	In der Vertiefung zwischen dem Processus styloideus der Ulna und dem Os triquetrum, palmar der Sehne des M. extensor carpi ulnaris.

- Dü 6**
Yanglao
In der Vertiefung unmittelbar radial und proximal des Ulna-Köpfchens. Bei gegen den Thorax gerichteter Handinnen-fläche verschwindet der bei Pronation auf dem Höcker liegende "Lokalisationsfinger" in einer Vertiefung auf der radialen Seite des Proc. styloideus der Ulna, radial der Sehne des M. extensor carpi ulnaris.
- Dü 7**
Zhizheng
5 cun proximal von Dü 5, auf der Verbindungslinie zwischen Dü 5 und Dü 8.
- Dü 8**
Xiaohai
Bei gebeugtem Ellbogen ist der Punkt in der Vertiefung zwischen dem Olecranon und dem medialen Epicondylus humeri.
- Dü 9**
Jianzhen
Bei hängendem Arm ist der Punkt senkrecht oberhalb des Endes der hinteren Axillarfalte, direkt unterhalb des hinteren Randes des M. deltoideus.
- Dü 10**
Naoshu
Bei hängendem Arm in der Vertiefung unterhalb des Überganges der Spina scapulae zum Akromion, senkrecht oberhalb des Endes der hinteren Axillarfalte.
- Dü 11**
Tianzong
In der Fossa infraspinata, auf der Verbindungslinie von der Mitte der Unterkante der Spina scapulae zum Angulus inferior, zwischen deren oberem und mittleren Drittel.
- Dü 12**
Bingfeng
In der Mitte der Fossa supraspinata. (Bei vollständig eleviertem Arm ist der Punkt in der entstehenden Vertiefung.)
- Dü 13**
Quyuan
In der Vertiefung am medialen Ende der Fossa supraspinata.
- Dü 14**
Jianwaishu
3 cun lateral des Unterrandes des Processus spinosus T 1.
- Dü 15**
Jianzhongshu
2 cun lateral des Unterrandes des Processus spinosus C 7.
- Dü 16**
Tianchuang
Am Hinterrand des M. sternocleidomastoideus, auf der Höhe der halben Distanz zwischen der Spitze des Processus mastoideus und dem sternalen Ansatz des M. sternocleidomastoideus.
- Dü 17**
Tianrong
Hinter dem Mandibulawinkel, in der Vertiefung am Vorderrand des M. sternocleidomastoideus.
- Dü 18**
Quanliao
Senkrecht unterhalb des äusseren Augenwinkels, in der Vertiefung inferior der unteren Kante des Jochbeins, anterior des Ursprungs des M. masseter.
- Dü 19**
Tinggong
Bei leicht geöffnetem Mund, in der Vertiefung zwischen der Mitte des Tragus und dem Caput mandibulae.

BI 1 Jingming	0,1 cun oberhalb des medialen Augenwinkels.
BI 2 Zanzhu	In der Vertiefung am medialen Ende der Augenbraue, direkt oberhalb von BI 1.
BI 3 Meichong	Senkrecht über dem medialen Augenwinkel, 0,5 cun innerhalb der vorderen Haarlinie, zwischen Du 24 und BI 4.
BI 4 Quchai	1,5 cun lateral von Du 24, auf der Verbindungslinie zwischen Du 24 und Ma 8, 0,5 cun innerhalb der vorderen Haarlinie.
BI 5 Wuchu	1 cun posterior der vorderen Haarlinie, 1,5 cun lateral von Du 23, oder 0,5 cun direkt oberhalb BI 4.
BI 6 Chengguang	2,5 cun posterior der vorderen Haarlinie, 1,5 cun lateral des Du Mai, oder 1,5 cun posterior von BI 5.
BI 7 Tongtian	4 cun posterior der vorderen Haarlinie, 1,5 cun lateral des Du Mai, oder 1,5 cun posterior von BI 6.
BI 8 Luoque	5,5 cun posterior der vorderen Haarlinie, 1,5 cun lateral des Du Mai, oder 1,5 cun posterior von BI 7.
BI 9 Yuzhen	2,5 cun oberhalb der hinteren Haarlinie, 1,3 cun lateral des Du Mai; oder lateral von Du 17, über dem Oberrand der Protuberantia occipitalis externa.
BI 10 Tianzhu	1,3 cun lateral des Du Mai (Du 15), in der Vertiefung auf dem lateralen Teil des Ansatzes des M. trapezius, auf der Höhe des Oberrandes des Processus spinosus C2.
BI 11 Dazhu	1,5 cun lateral des Du Mai, auf der Höhe der Dornfortsatzunterkante T 1.
BI 12 Fengmen	1,5 cun lateral des Du Mai, auf der Höhe der Dornfortsatzunterkante T 2.
BI 13 Feishu	1,5 cun lateral des Du Mai, auf der Höhe der Dornfortsatzunterkante T 3.
BI 14 Jueyinshu	1,5 cun lateral des Du Mai, auf der Höhe der Dornfortsatzunterkante T 4.
BI 15 Xinshu	1,5 cun lateral des Du Mai, auf der Höhe der Dornfortsatzunterkante T 5.
BI 16 Dushu	1,5 cun lateral des Du Mai, auf der Höhe der Dornfortsatzunterkante T 6.
BI 17 Geshu	1,5 cun lateral des Du Mai, auf der Höhe der Dornfortsatzunterkante T 7.

BI 18 Ganshu	1.5 cun lateral des Du Mai, auf der Höhe der Dornfortsatzunterkante T 9.
BI 19 Danshu	1.5 cun lateral des Du Mai, auf der Höhe der Dornfortsatzunterkante T 10.
BI 20 Pishu	1.5 cun lateral des Du Mai, auf der Höhe der Dornfortsatzunterkante T 11.
BI 21 Weishu	1.5 cun lateral des Du Mai, auf der Höhe der Dornfortsatzunterkante T 12.
BI 22 Sanjiaoshu	1.5 cun lateral des Du Mai, auf der Höhe der Dornfortsatzunterkante L 1.
BI 23 Shenshu	1.5 cun lateral des Du Mai, auf der Höhe der Dornfortsatzunterkante L 2.
BI 24 Qihaihu	1.5 cun lateral des Du Mai, auf der Höhe der Dornfortsatzunterkante L 3.
BI 25 Dachangshu	1.5 cun lateral des Du Mai, auf der Höhe der Dornfortsatzunterkante L 4.
BI 26 Guanyuanshu	1.5 cun lateral des Du Mai, auf der Höhe der Dornfortsatzunterkante L 5.
BI 27 Xiaochangshu	1.5 cun lateral des Du Mai, auf der Höhe des 1. Foramen sacrale.
BI 28 Panguangshu	1.5 cun lateral des Du Mai, auf der Höhe des 2. Foramen sacrale.
BI 29 Zhonglushu	1.5 cun lateral des Du Mai, auf der Höhe des 3. Foramen sacrale.
BI 30 Baihuanshu	1.5 cun lateral des Du Mai, auf der Höhe des 4. Foramen sacrale.
BI 31 Shangliao	Im 1. Foramen sacrale.
BI 32 Ciliao	Im 2. Foramen sacrale.
BI 33 Zhongliao	Im 3. Foramen sacrale.
BI 34 Xialiao	Im 4. Foramen sacrale.
BI 35 Huiyang	0,5 cun lateral der Steissbeinspitze.

BI 36 Chengfu	In der Mitte der transversalen Glutealfalte, zwischen dem Ursprung der Mm. biceps femoris und semitendinosus.
BI 37 Yinmen	6 cun distal von BI 36 auf der Verbindungslinie zwischen BI 36 und BI 40.
BI 38 Fuxi	1 cun proximal von BI 39, auf der medialen Seite der Sehne des M. biceps femoris. Lokalisierung bei leicht gebeugtem Knie.
BI 39 Weiyang	Am lateralen Ende der Kniekehlenfalte, medial der Sehne des M. biceps femoris.
BI 40 Weizhong	In der Mitte der Kniekehlenfalte zwischen den Sehnen des M. biceps femoris und M. semitendinosus.
BI 41 Fufen	3 cun lateral des Du Mai, auf der Höhe der Dornfortsatzunterkante T 2.
BI 42 Pohu	3 cun lateral des Du Mai, auf der Höhe der Dornfortsatzunterkante T 3.
BI 43 Gaohuangshu	3 cun lateral des Du Mai, auf der Höhe der Dornfortsatzunterkante T 4.
BI 44 Shentang	3 cun lateral des Du Mai, auf der Höhe der Dornfortsatzunterkante T 5.
BI 45 Yixi	3 cun lateral des Du Mai, auf der Höhe der Dornfortsatzunterkante T 6.
BI 46 Geguan	3 cun lateral des Du Mai, auf der Höhe der Dornfortsatzunterkante T 7.
BI 47 Hunmen	3 cun lateral des Du Mai, auf der Höhe der Dornfortsatzunterkante T 9.
BI 48 Yanggang	3 cun lateral des Du Mai, auf der Höhe der Dornfortsatzunterkante T 10.
BI 49 Yishe	3 cun lateral des Du Mai, auf der Höhe der Dornfortsatzunterkante T 11.
BI 50 Weicang	3 cun lateral des Du Mai, auf der Höhe der Dornfortsatzunterkante T 12.
BI 51 Huangmen	3 cun lateral des Du Mai, auf der Höhe der Dornfortsatzunterkante L 1.
BI 52 Zhishi	3 cun lateral des Du Mai, auf der Höhe der Dornfortsatzunterkante L 2.

- BI 53** 3 cun lateral des Du Mai, auf der Höhe des 2. Foramen sacrale.
Baohuang
- BI 54** 3 cun lateral des Du Mai, auf der Höhe des Hiatus sacralis.
Zhibian
- BI 55** 2 cun unterhalb von BI 40, zwischen dem medialen und lateralen Kopf
Heyang des M. gastrocnemius, auf der Verbindungslinie zwischen BI 40 und dem Achillessehnenansatz.
- BI 56** 5 cun unterhalb von BI 40, in der Mitte des Bauchs des M.
Chengjin gastrocnemius, auf der Verbindungslinie zwischen BI 40 und dem Achillessehnenansatz.
- BI 57** in der Vertiefung zwischen den beiden Köpfen des M. gastrocnemius,
Chengshan 8 cun unterhalb von BI 40, auf der Verbindungslinie zwischen BI 40 und dem Achillessehnenansatz.
- BI 58** 7 cun senkrecht über BI 60.,
Feiyang
- BI 59** 3 cun senkrecht über BI 60.
Fuyang
- BI 60** In der anatomischen (Null-) Stellung des Fusses, in der Mitte der
Kunlun Vertiefung zwischen der Prominenz des lateralen Malleolus und der Achillessehne.
- BI 61** 1,5 cun direkt unter BI 60, in der Vertiefung des Calcaneus auf der
Pucan Grenze zwischen roter und weisser Haut.
- BI 62** In der Vertiefung direkt unter dem lateralen Malleolus, posterior und
Shenmai inferior der Sehne des M. peroneus longus.
- BI 63** In der Vertiefung lateral des Os cuboideum, am Übergang zwischen
Jinmen dem distalen und mittleren Drittel der Distanz zwischen BI 62 und der Tuberositas des Os metatarsale V.
- BI 64** Unmittelbar distal und inferior der Tuberositas des Os metatarsale V,
Jinggu auf der Grenze zwischen roter und weisser Haut.
- BI 65** An der lateralen Fusskante, in der Vertiefung proximal des distalen
Shugu Endes des Os metatarsale V, auf der Grenze zwischen roter und weisser Haut.
- BI 66** An der lateralen Fusskante, in der Vertiefung unmittelbar distal und
Zutonggu lateral der Basis phalangis proximalis V.
- BI 67** 0,1 cun proximal des lateralen Nagelfalzwinkels der Kleinzehe. Auf
Zhiyin dem Kreuzungspunkt der Linien, die durch die Basis und die Seite des Nagelbettes gezogen werden können.

Ni 1 Yongquan	Am Übergang zwischen dem vorderen und den hinteren zwei Dritteln der Fußsohle, in der Vertiefung, welche bei Plantarflexion entsteht, zwischen Ossa metatarsalia II und III.
Ni 2 Rangu	In der Vertiefung distal und inferior der Tuberositas des Os naviculare.
Ni 3 Taixi	In der anatomischen (Null-) Stellung des Fusses, in der Mitte der Vertiefung zwischen der Prominenz des Malleolus medialis und der Achillessehne, posterior der A. tibialis posterior.
Ni 4 Dazhong	In der Vertiefung im Winkel zwischen dem Achillessehnenansatz und dem Calcaneus.
Ni 5 Shuiquan	Senkrecht unterhalb von Ni 3, in der Vertiefung superior des Oberandes des Calcaneus.
Ni 6 Zhaohai	In der Vertiefung unterhalb der medialen Malleolusspitze, zwischen der Pars tibiotalaris posterius und Pars tibiocalcanea des Lig. deltoideum.
Ni 7 Fuliu	2 cun oberhalb von Ni 3, in der Vertiefung am vorderen Rand der Achillessehne.
Ni 8 Jiaoxin	Anterior von Ni 7, 2 cun oberhalb von Ni 3, am medialen Rand der Tibia.
Ni 9 Zhubin	5 cun oberhalb von Ni 3, auf der Verbindungslinie zwischen Ni 3 und Ni 10.
Ni 10 Yingu	Bei gebeugtem Knie ist der Punkt auf der Kniekehlenfalte zwischen den Sehnen des M. semitendinosus und M. semimembranosus.
Ni 11 Henggu	5 cun unterhalb des Nabels, 0,5 cun lateral des Ren Mai, an der Oberkante der Symphysis pubis, Höhe Ren 2.
Ni 12 Dahe	4 cun unterhalb des Nabels, 0,5 cun lateral des Ren Mai, Höhe Ren 3.
Ni 13 Qixue	3 cun unterhalb des Nabels, 0,5 cun lateral des Ren Mai, Höhe Ren 4.
Ni 14 Siman	2 cun unterhalb des Nabels, 0,5 cun lateral des Ren Mai, Höhe Ren 5.
Ni 15 Zhongzhu	1 cun unterhalb des Nabels, 0,5 cun lateral des Ren Mai, Höhe Ren 7.
Ni 16 Huangshu	0,5 cun lateral des Nabels, Höhe Ren 8.
Ni 17 Shangqu	2 cun oberhalb des Nabels, 0,5 cun lateral des Ren Mai, Höhe Ren 10.

Ni 18 Shiguan	3 cun oberhalb des Nabels, 0,5 cun lateral des Ren Mai, Höhe Ren 11.
Ni 19 Yindu	4 cun oberhalb des Nabels, 0,5 cun lateral des Ren Mai, Höhe Ren 12.
Ni 20 Futonggu	5 cun oberhalb des Nabels, 0,5 cun lateral des Ren Mai, Höhe Ren 13.
Ni 21 Youmen	6 cun oberhalb des Nabels, 0,5 cun lateral des Ren Mai, Höhe Ren 14.
Ni 22 Bulang	Im 5. Intercostalraum, 2 cun lateral des Ren Mai.
Ni 23 Shenfeng	Im 4. Intercostalraum, 2 cun lateral des Ren Mai.
Ni 24 Lingxu	Im 3. Intercostalraum, 2 cun lateral des Ren Mai.
Ni 25 Shencang	Im 2. Intercostalraum, 2 cun lateral des Ren Mai.
Ni 26 Yuzhong	Im 1. Intercostalraum, 2 cun lateral des Ren Mai.
Ni 27 Shufu	In der Vertiefung am Unterrand der Clavicula, 2 cun lateral des Ren Mai.
Pe 1 Tianchi	Im 4. Intercostalraum, 1 cun lateral der Brustwarzenmitte.
Pe 2 Tianchuan	2 cun unterhalb des vorderen Endes der Axillarfalte, zwischen den beiden Köpfen des M. biceps brachii.
Pe 3 Quze	Bei 90° gebeugtem Ellbogen, auf der Ellbogenbeugefalte, an der ulnaren Seite der Sehne des M. biceps brachii.
Pe 4 Ximen	5 cun proximal der Handgelenkspalte zwischen den Sehnen des M. palmaris longus und M. flexor carpi radialis.
Pe 5 Jianshi	3 cun proximal der Handgelenkspalte, zwischen den Sehnen des M. palmaris longus und M. flexor carpi radialis.
Pe 6 Neiguan	2 cun proximal der Handgelenkspalte zwischen den Sehnen des M. palmaris longus und M. flexor carpi radialis.
Pe 7 Daling	Auf der Handgelenkspalte zwischen den Sehnen des M. palmaris longus und M. flexor carpi radialis.
Pe 8 Laogong	Auf der Handinnenfläche, proximal der Köpfchen der Ossa metacarpalia II und III.
Pe 9 Zhongchong	Im Zentrum der Mittelfingerspitze.

- SJ 1**
Guanchong
0,1 cun proximal des ulnaren Nagelfalzwinkels des Ringfingers. Auf dem Kreuzungspunkt der Linien, die durch die Basis und die Seite des Nagelbettes gezogen werden können.
- SJ 2**
Yemen
Bei leicht geballter Faust, in der Interdigitalhaut in der Vertiefung unmittelbar distal und ulnar der Basis phalangis proximalis IV.
- SJ 3**
Zhongzhu
Bei leicht geballter Faust auf dem Handrücken, im Winkel proximal der Köpfchen der Ossa metacarpalia IV und V.
- SJ 4**
Yangchi
Auf der dorsalen Handgelenkspalte, in der Vertiefung zwischen der Sehne des M. extensor digitorum communis und M. extensor digiti minimi, unmittelbar distal des Retinaculum extensorum.
- SJ 5**
Waiguan
2 cun proximal der dorsalen Handgelenkspalte (von SJ 4), auf der radialen Seite des M. extensor digitorum communis.
- SJ 6**
Zhigou
3 cun proximal der dorsalen Handgelenkspalte (von SJ 4), zwischen Radius und Ulna, radial des M. extensor digitorum communis.
- SJ 7**
Huizong
3 cun proximal der dorsalen Handgelenkspalte (von SJ 4), ulnar von SJ 6, zwischen der Ulna und dem M. extensor digitorum communis.
- SJ 8**
Sanyangluo
4 cun proximal der dorsalen Handgelenkspalte (von SJ 4), auf der radialen Seite des M. extensor digitorum communis.
- SJ 9**
Sidu
7 cun proximal der dorsalen Handgelenkspalte (von SJ 4), auf der Verbindungslinie zwischen SJ 4 und dem lateralen Epicondylus humeri.
- SJ 10**
Tianjing
Bei 90° gebeugtem Ellbogen in der Vertiefung 1 cun über dem Olecranon in der Fossa olecrani.
- SJ 11**
Qinglengyuan
Bei 90° gebeugtem Ellbogen 2 cun oberhalb des Olecranons (1 cun über SJ 10).
- SJ 12**
Xiaoluo
Auf der Verbindungslinie zwischen Olecranon und SJ 14, zwischen dem langen und dem lateralen Bauch des M. triceps brachii, in der Mitte zwischen SJ 11 und SJ 13.
- SJ 13**
Naohui
Auf der Verbindungslinie zwischen Olecranon und SJ 14, am Hinterrand des M. deltoideus.
- SJ 14**
Jianliao
Inferior der posterioren Ecke des Akromions (Angulus acromialis), zwischen den Ursprüngen der Pars spinata und Pars acromialis des M. deltoideus. Bei abduziertem Arm liegt der Punkt in der dorsalen der beiden sichtbaren Vertiefungen.
- SJ 15**
Tianliao
Auf halber Distanz der Verbindungslinie zwischen Gb 21 und Dü 13.

SJ 16 Tianyou	Posterior und inferior des Processus mastoideus, am Hinterrand des M. sternocleidomastoideus auf der Höhe des Kieferwinkels.
SJ 17 Yifeng	Hinter dem Ohrfläppchen, in der Vertiefung zwischen der Mandibula und dem Processus mastoideus.
SJ 18 Qimai	In der Mitte des Processus mastoideus, am Übergang vom mittleren zum unteren Drittel der Kurvenlinie von SJ 17 nach SJ 20.
SJ 19 Luxi	Hinter dem Ohr, am Übergang vom mittleren zum oberen Drittel der Kurvenlinie von SJ 17 nach SJ 20.
SJ 20 Jiaosun	Direkt über der Ohrspitze auf der temporalen Haargrenze.
SJ 21 Ermen	Bei leicht geöffnetem Mund, in der Vertiefung anterior der Incisura supratragica.
SJ 22 Erheliao	Anterior und superior von SJ 21, auf der Höhe des oberen Ohransatzes, am Hinterrand des Schläfenhaaransatzes, dorsal der A. temporalis superficialis.
SJ 23 Sizhukong	In der Vertiefung am lateralen Ende der Augenbraue, auf der Margo supraorbitalis.
Gb 1 Tongziliao	Etwa 0,5 cun lateral des äusseren Augenwinkels, in der Vertiefung lateral des äusseren Augenwinkels, auf dem lateralen Orbitarand.
Gb 2 Tinghui	Bei geöffnetem Mund in der Vertiefung anterior der Incisura intertragica.
Gb 3 Shangguan	Vor dem Ohr, am Oberrand des Jochbogens (Arcus zygomaticus), in der Vertiefung direkt oberhalb von Ma 7.
Gb 4 Hanyan	Innerhalb der temporalen Haarlinie, an der Grenze des ersten und zweiten Viertels der Verbindungslinie von Ma 8 nach Gb 7.
Gb 5 Xuanlu	Innerhalb der temporalen Haarlinie, in der Mitte der Verbindungslinie von Ma 8 nach Gb 7.
Gb 6 Xuanli	Innerhalb der temporalen Haarlinie, an der Grenze des dritten und vierten Viertels der Verbindungslinie von Ma 8 nach Gb 7.
Gb 7 Qubin	Direkt oberhalb des posterioren Randes der präauriculären Haarlinie, etwa 1 Fingerbreit vor und auf gleicher Höhe mit der Ohrspitze (SJ 20).
Gb 8 Shuaigu	Senkrecht über der Ohrspitze, 1.5 cun innerhalb der Haarlinie (1/2 der Distanz von SJ 20 zum Tuberculum parietalis).
Gb 9 Tianchong	In der Vertiefung direkt über dem Hinterrand der Ohrmuschel, etwa 0,5 cun posterior und auf gleicher Höhe von Gb 8.

Gb 10 Fubai	Posterior und superior des Processus mastoideus, etwa am Übergang zwischen oberem und mittlerem Drittel der Kurvenlinie von Gb 9 nach Gb 12.
Gb 11 Toujiaoyin	Posterior und superior des Processus mastoideus, etwa am Übergang zwischen unterem und mittlerem Drittel der Kurvenlinie von Gb 9 nach Gb 12.
Gb 12 Wangu	In der Vertiefung posterior und inferior des Processus mastoideus.
Gb 13 Benshen	0,5 cun innerhalb der vorderen Haarlinie, 3 cun lateral von Du 24.
Gb 14 Yangbai	Auf der Stirn, 1 cun oberhalb der Augenbraue, senkrecht über der Pupille.
Gb 15 Toulingqi	Senkrecht über der Pupille (direkt über Gb 14), 0,5 cun innerhalb der vorderen Haarlinie, in der Mitte zwischen Du 24 und Ma 8.
Gb 16 Muchuang	2 cun innerhalb der vorderen Haarlinie, auf der Verbindungslinie von Gb 15 nach Gb 20.
Gb 17 Zhengying	3,5 cun posterior der vorderen Haarlinie, auf der Verbindungslinie von Gb 15 nach Gb 20.
Gb 18 Chengling	5 cun posterior der vorderen Haarlinie, auf der Verbindungslinie von Gb 15 nach Gb 20.
Gb 19 Naokong	1,5 cun oberhalb von Gb 20, 2,5 cun oberhalb der hinteren Haarlinie, lateral der Protuberantia occipitalis externa.
Gb 20 Fengchi	Unter dem Os occipitale, in der Vertiefung zwischen dem Ansatz des M. sternocleidomastoideus und dem M. trapezius, auf gleicher Höhe mit Du 16.
Gb 21 Jianjing	In der Mitte zwischen Proc. spinosus C7 (Du 14) und dem Akromion, auf dem höchsten Punkt des M. trapezius.
Gb 22 Yuanye	3 cun unterhalb der Axilla auf der mittleren Axillarlinie, im entsprechenden Intercostalraum.
Gb 23 Zhejin	1 cun anterior von Gb 22, etwa auf der Höhe der Brustwarze, im entsprechenden Intercostalraum.
Gb 24 Riyue	Im 7. Intercostalraum auf der Mammillarlinie.
Gb 25 Jingmen	Am unteren Rand des freien Endes der 12. Rippe.

- Gb 26**
Daimai
Direkt unter dem freien Ende der 11. Rippe (Le 13), auf der Höhe des Nabels.
- Gb 27**
Wushu
In der Vertiefung unmittelbar medial der der Spina iliaca anterior superior, 3 cun unterhalb des Nabels.
- Gb 28**
Weidao
Medial der Spina iliaca anterior superior, 0,5 cun medial und inferior von Gb 27.
- Gb 29**
Juliao
In der Mitte zwischen der Spina iliaca anterior superior und der Prominenz des Trochanter major.
- Gb 30**
Huantiao
In Seitenlage und 45° gebeugtem Hüftgelenk, am Übergang zwischen dem mittleren und dem lateralen Drittel der Distanz zwischen der Prominenz des Trochanter und dem Hiatus sacralis.
- Gb 31**
Fengshi
Seitlich am Oberschenkel, 7 cun oberhalb der Kniegelenkspalte, im Tractus iliotibialis auf der Verbindungslinie zwischen Trochanter major und Epicondylus femoris lateralis.
- Gb 32**
Zhongdu
Seitlich am Oberschenkel, 5 cun oberhalb der Kniegelenkspalte, zwischen dem M. vastus lateralis und M. biceps femoris.
- Gb 33**
Xiyangguan
Bei 90° gebeugtem Knie in der Vertiefung proximal des lateralen Condylus femoris, zwischen der Sehne des M. biceps femoris und dem Femur.
- Gb 34**
Yanglingquan
In der Vertiefung anterior und inferior des Caput fibulae, anterior der Mm. peronaei.
- Gb 35**
Yangjiao
7 cun oberhalb der Prominenz des lateralen Malleolus, am Hinterrand der Fibula.
- Gb 36**
Waiqiu
7 cun oberhalb der Prominenz des lateralen Malleolus, am Vorderrand der Fibula.
- Gb 37**
Guangming
5 cun oberhalb der Prominenz des lateralen Malleolus, am Vorderrand der Fibula.
- Gb 38**
Yangfu
4 cun oberhalb der Prominenz des lateralen Malleolus, am Vorderrand der Fibula, zwischen den Mm. extensor digitorum longus und peroneus longus.
- Gb 39**
Xuanzhong
3 cun oberhalb der Prominenz des lateralen Malleolus, in der Vertiefung zwischen dem Hinterrand der Fibula und den Sehnen der Mm. peronaei longus et brevis.
- Gb 40**
Qixu
Anterior und inferior des lateralen Malleolus, in der Mitte der Vertiefung lateral der Sehne des M. extensor digitorum longus.

- Gb 41**
Zulinqi
Im proximalen Winkel zwischen den Ossa metatarsalia IV und V, lateral der Sehne des M. extensor digiti minimi des Fusses.
- Gb 42**
Diwuhui
Zwischen den Ossa metatarsalia IV und V, medial der Sehne des M. extensor digiti minimi.
- Gb 43**
Xiaxi
In der Interdigitalhaut in der Vertiefung unmittelbar distal und lateral der Basis phalangis proximalis IV.
- Gb 44**
Zuqiaoyin
0,1 cun proximal des lateralen Nagelfalzwinkels der vierten Zehe. Auf dem Kreuzungspunkt der Linien, die durch die Basis und die Seite des Nagelbettes gezogen werden können.
- Le 1**
Dadun
0.1 cun proximal und lateral des lateralen Nagelfalzwinkels der Grosszehe. Auf dem Kreuzungspunkt der Linien, die durch die Basis und die Seite des Nagelbettes gezogen werden können.
- Le 2**
Xingjian
In der Interdigitalhaut in der Vertiefung unmittelbar distal und lateral der Basis phalangis proximalis I.
- Le 3**
Taichong
Auf dem Fussrücken, im Zentrum der Mulde distal der proximalen Verbindung der Ossa metatarsalia I und II.
- Le 4**
Zhongfeng
Anterior des medialen Malleolus, zwischen Mi 5 und Ma 41, in der Vertiefung medial der Sehne des M. tibialis anterior.
- Le 5**
Ligou
5 cun proximal der Prominenz des medialen Malleolus, unmittelbar posterior der medialen Tibiakante.
- Le 6**
Zhongdu
7 cun proximal der Prominenz des medialen Malleolus, unmittelbar posterior der medialen Tibiakante.
- Le 7**
Xiguan
1 cun posterior von Mi 9, im oberen Teil des medialen Kopfes des M. gastrocnemius.
- Le 8**
Ququan
Bei gebeugtem Knie befindet sich der Punkt in der Vertiefung über dem medialen Ende der Kniekehlenfalte, posterior des Condylus medialis femoris, zwischen dem M. semimembranosus und dem Condylus.
- Le 9**
Yinbao
4 cun über dem Kniegelenksspalt, zwischen M. vastus medialis und M. sartorius.
- Le 10**
Zuwuli
3 cun unterhalb von Ma 30, lateral des M. adductor longus.
- Le 11**
Yinlian
2 cun unterhalb von Ma 30, lateral des M. adductor longus.

Le 12 Jimai	In der Leistenfalte 2.5 cun lateral des Ren Mai, lateral und inferior von Ma 30.
Le 13 Zhangmen	Auf der lateralen Seite des Abdomens, direkt unter dem freien Ende der 11. Rippe.
Le 14 Qimen	Auf der Mammillarlinie, im 6. Intercostalraum.
Du 1 Changqiang	In der Mitte zwischen der Spitze des Os coccygis und dem Anus, Lokalisation in Bauchlage.
Du 2 Yaoshu	Im Hiatus sacralis.
Du 3 Yiaoyangguan	Unterhalb des Processus spinosus L 4
Du 4 Mingmen	Unterhalb des Processus spinosus L 2.
Du 5 Xuanshu	Unterhalb des Processus spinosus L 1.
Du 6 Jizhong	Unterhalb des Processus spinosus T 11.
Du 7 Zhongshu	Unterhalb des Processus spinosus T 10.
Du 8 Jinsuo	Unterhalb des Processus spinosus T 9.
Du 9 Zhiyang	Unterhalb des Processus spinosus T 7.
Du 10 Lingtai	Unterhalb des Processus spinosus T 6.
Du 11 Shendao	Unterhalb des Processus spinosus T 5.
Du 12 Shenzhu	Unterhalb des Processus spinosus T 3.
Du 13 Taodao	Unterhalb des Processus spinosus T 1.
Du 14 Dazhui	Unterhalb des Processus spinosus C 7.
Du 15 Yamen	In der Vertiefung direkt über dem Processus spinosus C2.
Du 16 Fengfu	1 cun über dem Haaransatz, in der Mulde direkt unterhalb der Protuberantia occipitalis externa.

- Du 17**
Naohu
Auf der Sagittallinie des Kopfes, 1.5 cun oberhalb von Du 16, direkt oberhalb der Protuberantia occipitalis externa.
- Du 18**
Qiangjian
Auf der Sagittallinie des Kopfes, 3 cun oberhalb von Du 16.
- Du 19**
Houding
Auf der Sagittallinie des Kopfes, 4.5 cun oberhalb von Du 16.
- Du 20**
Baihui
Auf der Sagittallinie des Kopfes, 5 cun posterior des vorderen Haaransatzes.
- Du 21**
Qianding
Auf der Sagittallinie des Kopfes, 3.5 cun posterior des vorderen Haaransatzes.
- Du 22**
Xinhui
Auf der Sagittallinie des Kopfes, 2 cun posterior des vorderen Haaransatzes.
- Du 23**
Shangxing
Auf der Sagittallinie des Kopfes, 1 cun posterior des vorderen Haaransatzes.
- Du 24**
Shenting
Auf der Sagittallinie des Kopfes, 0.5 cun posterior des vorderen Haaransatzes.
- Du 25**
Suliao
Auf der Nasenspitze.
- Du 26**
Renzhong
Unterhalb der Nase, am Übergang des oberen zum mittleren Drittel des Philtrums.
- Du 27**
Duiduan
In der Mitte des Oberlippenrandes, am Übergang von Philtrum und Oberlippe.
- Du 28**
Yinjiao
Am Übergang zwischen dem Frenulum der Oberlippe und dem Zahnfleisch.
- Ren 1**
Huiyin
Im Zentrum des Perineums, bei Männern zwischen Anus und Skrotum, bei Frauen zwischen Anus und Commisura labiorum posterior.
- Ren 2**
Qugu
Unmittelbar über der Symphysenoberkante, auf der Mittellinie des Abdomens.
- Ren 3**
Zhongji
4 cun unterhalb des Bauchnabels, auf der Mittellinie des Abdomens.
- Ren 4**
Guanyuan
3 cun unterhalb des Bauchnabels, auf der Mittellinie des Abdomens.
- Ren 5**
Shimen
2cun unterhalb des Bauchnabels, auf der Mittellinie des Abdomens.

Ren 6 Qihai	1.5 cun unterhalb des Bauchnabels, auf der Mittellinie des Abdomens.
Ren 7 Yinjiao	1 cun unterhalb des Bauchnabels, auf der Mittellinie des Abdomens.
Ren 8 Shenque	Im Zentrum des Bauchnabels.
Ren 9 Shuifen	1 cun oberhalb des Bauchnabels, auf der Mittellinie des Abdomens.
Ren 10 Xiawan	2 cun oberhalb des Bauchnabels, auf der Mittellinie des Abdomens.
Ren 11 Jianli	3 cun oberhalb des Bauchnabels, auf der Mittellinie des Abdomens.
Ren 12 Zhongwan	4 cun oberhalb des Bauchnabels, auf der Mittellinie des Abdomens.
Ren 13 Shangwan	5 cun oberhalb des Bauchnabels, auf der Mittellinie des Abdomens.
Ren 14 Juque	6 cun oberhalb des Bauchnabels, auf der Mittellinie des Abdomens
Ren 15 Jiuwei	7 cun oberhalb des Bauchnabels, auf der Mittellinie des Abdomens.
Ren 16 Zhongting	Auf der Höhe des sternocostalen Winkels des 5. Intercostalraumes, auf der Mittellinie des Brustbeins.
Ren 17 Tanzhong	Auf der Höhe des sternocostalen Winkels des 4. Intercostalraumes, auf der Mittellinie des Brustbeins.
Ren 18 Yutang	Auf der Höhe des sternocostalen Winkels des 3. Intercostalraumes, auf der Mittellinie des Brustbeins.
Ren 19 Zigong	Auf der Höhe des sternocostalen Winkels des 2. Intercostalraumes, auf der Mittellinie des Brustbeins.
Ren 20 Huagai	Auf der Höhe des sternocostalen Winkels des 1. Intercostalraumes, auf der Mittellinie des Brustbeins.
Ren 21 Xuanji	In der Mitte des Manubrium sterni, auf halber Distanz zwischen Ren 20 und Ren 22.
Ren 22 Tiantu	In der Mitte der Fossa jugularis.
Ren 23 Lianquan	Auf der anterioren Mittellinie, in der Vertiefung superior des Os hyoideum (Zungenbein).
Ren 24 Chengjiang	In der Vertiefung in der Mitte des Sulcus mentolabialis.

Sishencong M-HN-1	Vier Punkte, je 1 cun anterior, posterior und lateral von Du 20.
Yintang M-HN-3	In der Glabella in der Mitte zwischen den Augenbrauen auf dem Du Mai.
Yuyao M-HN-6	In einer Vertiefung in der Mitte der Augenbraue, senkrecht über der Pupille.
Taiyang M-HN-9	In der Vertiefung etwa 1 cun posterior der Mitte zwischen dem lateralen Ende der Augenbraue und dem lateralen Canthus.
Erjian M-HN-10	Bei nach vorne gefaltetem Ohr direkt auf der Spitze der Helixkante.
Bitong M-HN-14	Am oberen Ende der Nasolabialfalte, am Übergang zwischen dem Os nasale und dem Knorpel.
Dingchuan M-BW-1	0.5 cun lateral von Du 14.
Yishu / Weiguanxiashu M-BW-12	1.5 cun lateral des DU MAI, auf der Höhe der Unterkante des Processus spinosus T 8.
Yaoyan M-BW-24	In der Vertiefung etwa 3.5 cun lateral des DU MAI, auf der Höhe der Unterkante des Processus spinosus L 4.
Shiqizhizhuixia M-BW-25	Auf dem Du Mai unterhalb des Processus spinosus L 5.
Huatuojiaji M-BW-35	17 Punktpaare, jeweils 0.5 cun lateral des DU MAI, auf der Höhe der Unterkante des Processus spinosus von T 1 bis L 5.
Zigong M-CA-18	3 cun lateral von Ren 3.
Shixuan M-UE-1	Auf den zehn Fingerspitzen, etwa 0.1 cun distal des Fingernagels.
Sifeng M-UE-9	Vier Punkte auf der palmaren Seite der Finger (ohne Daumen), in der Mitte der Gelenkspalte der proximalen Interphalangealgelenke.
Yaotongxue N-UE-19	Zwei Punkte auf dem Handrücken zwischen den Metacarpalia II und III, sowie IV und V, auf halber Distanz zwischen der Handgelenksspalte und dem Metacarpo-phalangealgelenk.
Baxie M-UE-22	Vier Punkte, bei lockerem Faustschluss, auf dem Handrücken am Übergang zwischen weisser und roter Haut in der Mitte der Interdigitalhaut.

Luozhen M-UE-24	Auf dem Handrücken, in der Vertiefung etwa 0,5 cun proximal der Metacarpo-phalangealgelenke II und III.
Er bai M-UE-29	Zwei Punkte 4 cun proximal der palmaren Handgelenkspalte, unmittelbar beidseits der Sehne des M. flexor carpi radialis.
Jianneiling M-UE-48	In der Mitte zwischen Di 15 und dem Ende der vorderen Axillarfalte.
Bafeng M-LE-8	Vier Punkte am Fussrücken, in der Mitte der Interdigitalhaut der Zehen.
Xiyan M-LE-16	Zwei Punkte (inkl. Ma 35), bei gebeugtem Knie in der Mitte der Vertiefung beidseits des Lig. patellae.
Heding M-LE-27	Bei gebeugtem Knie in der Vertiefung oberhalb der Mitte des Patellaoberrandes.
Baichongwo M-LE-34	1 cun proximal von Mi 10.